

## カオスの局在化

—特に Spatio-Temporal intermittency  $\leftrightarrow$  II C

京大理物理 藤 定義 (Sadayoshi Toh)

### §1 はじめに

Lorenz や Ruelle と Takens [1], [2] の研究以来、流体現象にみられる不規則なゆらぎの由来をカオスと結びつける見方が急速に広まる。特にアスペクト比が小さい熱対流や Taylor - Couette 流などの流体の占める領域に強い制限がある系では、少數自由度の力学系で予見されたカオスへの普遍的な遷移過程—周期倍化カスケード、準周期運動の崩壊あるいは時間的不完全性を経て道筋一を経て弱い乱流へ遷移する—が実験により見出された。しかし、流体の空間的広がりに対する制限が弱まると、空間方向のゆらぎが重要になり考慮すべき系の自由度が増すため、やすくも少數自由度の力学系と対応しなくなる。我々が日常経験する流体の運動は後者であり、この様な現象を理解するための新しい視点が必要となるであろう。

二二 教年 空間的広がりが大きな系である。後に述べる偏

微分方程式、coupled-map を用いたシミュレーションや熱対流、Taylor-Couette 流を用いた実験において、乱流(カオス)の部分と層流の部分が空間的に混在した状態を経る遷移過程が見出されている。この乱流と層流の混在状態は spatio-temporal intermittency (以下 S.T.I. と略す) と呼ばれており、遷移過程においてのみならず、カオス(乱流)の存在形態の一つとして安定に存在する場合も観測されている。[3-8]

少數自由度の力学系においても、時間変動に対する間欠性 (intermittency) と呼ばれる現象がある。先にあげたカオスへの道筋の一つ (Pomeau-Manneville intermittency) や、カオスの一つの状態であるものの (Crutchfield intermittency) が知られており、これらは発生機構はよく理解されている。[7, 9] (Appendix) これに反し、S.T.I. に関しては、研究が始まりて現象を説明する理論はまだ多くない状態であるが、以下の章で最近の定量的研究結果を紹介する。

一方、空間的広がりをもつ系を多自由度の力学系とみなして、リヤフオフスペクトルやリヤフオフベクトル、コルモゴロフエントロピーを用い、カオス特にストレニージアトラクタの性質を明らかにしようとする立場の研究がある。[10, 11] この立場は基本的には十分発達した乱流場の統計的性質を立相空間でのアトラクターの構造と関係づけようとしている。

あり、S.T.I. のような実空間の構造を問題にすら立場には、あまり有効でないか、とうに思われる。しかし、Ruelleは速度場の局所性とリヤフオフスペクトルの零付近の分布密度の発散との関係を議論しており、ながら見込みが芽生えてはならないかもしれない。[13]

この様な比較的強いカオスでは、全体としてカオスではなく空間の部分領域が独立したカオスのように振舞うカオスの局在化、が見られる場合がある。これは、位相空間の軌道の不安定方向を表すリヤフオフペクトルが空間的に局在化していることから理解できる。[10, 12] S.T.I. と直接関係はないかもしれないが、空間的広がりが大きな系での状態の領域化の機構を理解する手がかりになると思われる。

以上は閉じた系（境界が固定されたりする周期的な系）について概観したものである。しかし、S.T.I. は閉じた系だけではなく、境界層や管内流中のバースト及び乱流壁、ジェットや混合層 (=みぞれ) 乱流界面など開いた系における特徴的な現象である。[9, 14, 24]

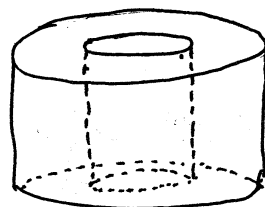
開いた系は、乱れが流れ方向に発達すると、スケールの影響が大きいほど、閉じた系とは異なる性質を持つことがある。[14] さらに閉じた系は多自由度の力学系として扱うことも可能だが、開いた系ではカオスの定義としての軌道不安定性

すら空間方向への発展を考慮して定義し直す必要があるなど取り扱いが複雑しい。<sup>[15]</sup> 3章で開いた系のモデルとして1次元 Ginzburg-Landau 方程式を用い、ノイズと周期性の関係を扱う理論を紹介する。

## 3.2 閉じた系 (closed flow)

この章では、閉じた系での S.T.I. が存在するカオスへの遷移現象の1つとして、熱対流の実験で得られた結果を紹介する。同様の結果は、1次元 Coupled map 及び偏微分方程式を用いて得られること。<sup>[8, 16, 17]</sup>

左図の様な2重円筒間の熱対流を考える。<sup>[16]</sup>

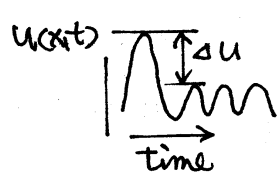


観測量は、温度の方位角方向の勾配を軸方向に平均化した量  $U(\alpha, t) = (\frac{1}{r_0}) [\partial T(r_0, \theta, t) / \partial \theta]$

で、半径  $r_0 = 3.6\text{ cm}$  の円周上128点で測定して、内径3cm、外径4cm、深さ1cm

3. 支配パラメータは、対流開始の臨界値を取ると温度差  $\Delta T_c$  を規格化した温度差  $\eta = \Delta T / \Delta T_c$  を用いる。

Fig 2.1 で  $\eta = 248$  の  $U(x, t)$  ( $x = \theta / 2\pi$ ) の時間発展を表わすとおり強いバーストが空間的な秩序を局所的に破壊している。



この局所的な乱れと秩序を区別するためには左図の様に  $U(x_0, t)$  の時間方向の変動の1周期

令の振幅差  $\Delta u$  が標準値  $\alpha$  を越えるとき乱流状

態、 $\alpha$ 以下のとき層流と定義する。Fig 2.2 a,b) で黒い領域は乱流、白い領域は層流を表わしておりそれを  $\eta = 216$ ,  $248$  に対応する。

$\eta = 216$  では乱流領域は層流中にうめこまれており、この発生は他の乱流領域の存在と無関係に起る。一方、 $\eta = 248$  では乱流領域が層流領域を侵略してくる。ここで後者の状態を S.T.I. と呼んでおり、この 2 つの状態は  $245 < \eta < 248$  でペーコレーション転移(2 次相転移)を起す。実際、層流領域の長さ  $x$  の分布  $P(x)$  は

$$P(x) = \begin{cases} Ax^{-\mu} & 200 < \eta \leq \eta_s \\ (Ax^{-\mu} + B) \exp[-m(\alpha, \eta)x] & \eta_s \leq \eta < 400 \end{cases}$$

$$\left[ m(\alpha, \eta) = m_0(\eta) e^{\alpha/\lambda_0} = m_1 (\eta/\eta_s - 1)^{1/2} \right]$$

$$\left[ A = 10^5, B \approx 4 \times 10^3, \mu = 1.9 \pm 0.1, \eta_s = 247 \pm 1, m_1 = 117 \pm 2 \right]$$

となる。(Fig 2.3, 2.4)

従って層流領域の平均長さ  $\bar{x} = \int_0^L x P(x) dx$  は

$$\bar{x} \approx \begin{cases} AL^{2-\mu}/(2-\mu) & \eta < \eta_s \\ B/(\eta - \eta_s) & \eta > \eta_s \end{cases}$$

で、 $\eta \approx \eta_s$  の境に層流領域の長さは系の長さのオーダーに等しい。 $\eta \leq \eta_s$  の巨視的時間と全体が層流状態であることを表わしている。一方、 $\eta > \eta_s$  のときは系は  $\eta - \eta_s$  に応じた割合で乱流領域と層流領域の混在した状態に在ると言ふことを

示してあり。 $\alpha T = \alpha t - \eta > \eta_s$  の場合を S.T.I. と呼ぶのである。

以上のようす、S.T.I. を経た遷移現象は相転移で記述できることが明らかに  $T_F > T_c$ 。同様の現象や他の  $\lambda < T_c$  の系でも見られるが、この相転移が普遍性をもつのかどうか又、どのメカニズムにつなげば、今後の研究により明らかにすべきである。

(注) ニニでの乱流領域及く層流領域の区別はカオスの定義と併せて  $T_c < T_F$  の任意性のあるものである。ハサの  $k = 3$ 、一意的かつ区別の方法は見出されていない。

### 83. 開いた系 (Open flow)

1章で開いた系と開いた系とは取り扱いが異なると書いた。ところが、Sreenivasan は、円柱の後流が少數自由度の力学系と相似であることを実験により見出した。<sup>[14, 25]</sup> ニの構成は円柱後流で特有の周波数をもつ強い振動が維持される所、円柱の近くで流れが絶対不安定 (absolutely unstable) であるからで、すべての開いた系が成り立つものではない。<sup>[23]</sup> まことに流れが対流不安定 (convectively unstable) であると多くニの場合系の固有の構造 (振動) より外からの影響 ( $T_c$  とえどノイズ) による構造が出現する。この結果、流れの中

に乱れ下部分と秩序的上部分が生じる。以下ではノイズをノイズと依存した不規則性を示すモデルとして、1次元 Ginzburg-Landau 方程式を用いて Diessler による論文を紹介する。<sup>[22]</sup>

Ginzburg-Landau 方程式は、単色波型擾乱の振幅の変動を記述するもので

$$\frac{\partial \Psi}{\partial t} = a\Psi - v_g \frac{\partial \Psi}{\partial x} + b \frac{\partial^2 \Psi}{\partial x^2} - c|\Psi|^2 \Psi \quad \dots \dots \quad (3.1)$$

の形をしている。係数  $a, b, c$  は複素数で  $v_g$  は群速度である。以下で示すように  $v_g \neq 0$  が対流不安定を起す必要条件になつてあり。平板ポアソン流や風波などではこの条件を満している。方程式 (3.1) の解  $\Psi=0$  の線形安定性を調べると係数の値によって以下のようになる。(添字 r は real part を表す)

$$\begin{cases} ar - v_g^2 br / 4|b|^2 > 0 & : \text{絶対不安定} \\ ar < 0 & : \text{絶対安定} \\ ar - v_g^2 br / 4|b|^2 < 0 \text{かつ } ar > 0 & : \text{対流不安定} \end{cases}$$

以下、対流不安定である場合に係数を求めて (3.1) をシミュレーションによって解の性質を調べるが計算の詳細は論文を参照してほしい。境界条件は、ノイズの解への影響を見ているので  $x=0$  で乱数を与えてある。又、用いた系の近似として他方の端  $x=L$  で  $\partial^2 \Psi / \partial x^2 = 0$  とおこなっている。

解は Fig. 3.1 に示されたように構造をしており、 $x=0$  を加えノイズを取り除くと  $\Psi=0$  の状態にもどるために対流不安

定), 二の構造をノイズによって維持された構造(Noise-Sustained Structure)と呼ぶ。解は原点に近づから、線形領域、遷移領域及び乱流領域の3つの部分から成る。

以下各領域について概観する。

### 1. 線形領域

$x=0$  で加えられた擾乱が十分小さく線形と考えられる領域。  
( $0 \leq x \leq 30$  の部分) 微小なランダム擾乱は振幅の増大とともに徐々に大きくなる。(Fig 3.2) これは  $A e^{\beta x - i \omega t}$  型の擾乱に対する線形分散関係  $-i\omega = \alpha \beta N g + \beta^2 b$  で  $\text{Re}(\beta)$  の最大値を与える振動数  $\omega_{\max}$  の周りで空間增幅率  $\text{Re}(\beta)$  が正となるため。これらの振動数をもつ擾乱が下流に行くにつれて強く成長するためである。すなはちこの結果、最大空間增幅率をもつ擾乱が選択されるといふことである。  $x=0$  でのノイズと各空間点での変動の相関は強く、二の領域の構造がノイズによって維持されることが明らかである。(Fig 3.3)

### 2. 遷移領域

線形領域で選択された擾乱が非線形で発展して乱流域へ遷移する領域。 $(35 \leq x \leq 270)$  この領域の前半部分は单色波に近づく波形をしていく。(Fig 3.4) これは、

$$\psi(x,t) = A e^{i k x - i \omega t}, \quad |A| = \frac{1}{C_r} \left( a_r - k^2 b_r \right)^{1/2},$$

$$k = N g \pm \left[ N g^2 - 4 \left( \frac{b_r c_i}{C_r} - b_i \right) \left( a_i - \frac{c_i a_r}{C_r} + \omega \right) \right]^{1/2} / 2 \left( \frac{b_r c_i}{C_r} - b_i \right),$$

$\omega = \omega_{\max}$ , で与えられる非線形平面波解に  $\zeta$  と一致して、  
 2. エラに下流に行くと、 $\zeta$  の平面波解は不安定化し（対流  
 不安定）乱流化する。従って乱流への遷移は、平面波解の2  
 次不稳定性に伴う引き起こされる。ノイズと各空間点の変  
 動との相関は、上記平面波解の領域ではまだ強いか、乱流化  
 した領域では消えてしまう。(Fig 3.5), 一方、原点で  $\omega_{\max}$  で始  
 動する擾乱を入れ、5周期目ごとの振幅だけ大きくしてやると下流では  $\zeta$  の振幅変動を加えた部分に不規則な変動が生じ  
 3. (Fig 3.6)  $\zeta$  の  $\zeta$  とより、平面波解の中に飛びこむノイズ  
 由来する局所的なゆらぎが下流での局所的不安定化(バースト)  
 を引き起こし、 $\zeta$  の部分が回りの領域に広がる  $\zeta$  と  
 いって乱流へ遷移をせよ。つまり遷移領域に見られる局  
 不定性はノイズに由来する。

### 3. 亂流領域

$\zeta$  の領域の不規則に見える変動を乱流と呼ぶのが、いかゆ  
 子カオスの定義に従って、子から不明である。 $\zeta$  の領域の変  
 動を調べるために、速度に依存しない ( $\gamma = 0$ ) フ数を以下の様  
 に定義する。

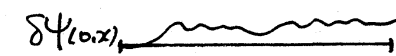
$$\Lambda(v; x_1, x_2) = \lim_{t \rightarrow \infty} \frac{1}{t} \ln [\zeta(v; x_1, x_2, t) / \zeta(v; x_1, x_2, 0)]$$

$$\zeta(v; x_1, x_2, t) = \left[ \int_{x_1 + vt}^{x_2 + vt} |\delta \psi(x, t)|^2 dx \right]^{1/2}$$

$$(\partial \delta \psi / \partial t = \alpha \delta \psi - v_g \partial \delta \psi / \partial x + b \partial^2 \delta \psi / \partial x^2 - 2c |\psi|^2 \delta \psi - c \psi^2 \delta \psi^*)$$

$\lambda = 0$  における通常のリヤフ<sup>o</sup>ノフ数の定義に一致する。

$v_m$  を  $\lambda(v; x_1, x_2)$  の最大値を取る速度とすると、  
 $\lambda(v_m; x_1, x_2)$  が正のとき、領域  $(x_1 + v_m t, x_2 + v_m t)$  では  
 カオスであるとする。又、 $|x_2 - x_1|$  を大きくすると、一般に  
 ときは  $x_1, x_2$  は依存しない。

(3.1) 式 (=) に対し、全領域  $x \in [0, L]$  で通常のリヤフ<sup>o</sup>ノフ数を  
 計算すると、 $\lambda(0; 0, 300) = -0.89 \pm 0.01$  を得る。これは  $\delta$  中  
 ノイズの影響を受けたため ( $\delta \psi(0, t) = 0$ )、初期には増幅  
 しても二の擾乱の中心部分が領域の外へ出でてしまふ  
 やうである。(右図参照) 一方、 $L \rightarrow \infty$   $\delta \psi(0, x)$  

とし局在化した擾乱  $\delta \psi$  を初期に領域  $[x_1, x_2]$  に与えたとき、適当な  $\lambda$  (=) 正のリヤフ<sup>o</sup>ノフ数  $\lambda(v; x_1, x_2)$  が得られたとき、二  
 ハタイフ<sup>o</sup>のカオスを対流型カオス (convective chaos) と呼  
 ぶ。つまり、カオス自身の移動速度  $v$  が  $<$  座標系に乘ると  
 カオスが見えなくなるのである。二二二の定義にモード<sup>”</sup>  
 かす（実際上の計算不可能）周期境界条件のもとで (3.1) 式  
 を解き、通常のリヤフ<sup>o</sup>ノフ数を求め、正の値 ( $0.38 \pm 0.01$ ) を  
 得てあり。このカオスが対流型であると結論づけよう。

以上の結果をまとめると、(1) 線形領域では空間増幅率が  
 最大の擾乱が選択される。ただしノイズとの相関は強い。

(2)遷移領域では前領域で歪曲された擾乱が非線形平面波解に発展した後、2次不安定化し乱流に移る。この不安定の原因はノイズに由来する局所的な変動で、この部分がまずバーストとして不安定化し回りの領域に広がるという、間欠的な過程を経る。(3)乱流域の不規則変動は対流型のカオスである。

#### §.4. むすび

2章、3章で空間的広がりが大きな関じた系及び用いた系についてのいくつかの研究を概観した。2章の例は実験から得た結果であるため、それ以外にも、さらには元偏微分方程式やcoupled mapをモデルに用いたものもあり、流体現象との定量的なアプロジーを得ておらずだけである。これらの研究が目標にして「3乱流への道筋の解明」特にその過程にかかるS.T.I.の現象を完全に理解するためには、さらに新しい観点に立ったカオスの記述法や別のアプローチが必要である。

## 引用文献

1. Lorenz,E.N.: J. Atoms. Sci. 20(1963) 130
2. Ruelle,D. and Takens,F.: Comm. Math. Phys. 20(1971) 162
3. Jensen,M.H. et al: Phys. Rev. Lett. 55(1985) 2798
4. Stavans,J. et al: Phys. Rev. Lett. 55(1985) 596
5. Andereck,C.D. et al: J. F. M. 164(1986) 155
6. Baxter,G.W. and Andereck,C.D.: Phys. Rev. Lett. 57(1986) 3046
7. Keeler,J.D. and Farmer,J.D.: Physica 23D(1986) 413
8. Kaneko,K.: Prog. Theor. Phys. 74(1985) 1033
9. 畠 友正編:「乱流現象の科学」東大出版(1986)
10. Ikeda,K. and Matsumoto,K: Physica 29D(1987) 223
11. Yamada,M. and Ohkitani,K.: Phys. Rev. Lett. 60(1988) 983
12. Livi,R. et al: J. Stat. Phys. 48(1987) 539
13. Ruelle,D.: Comm. Math. Phys. 87(1982) 287
14. Sreenivasan,K.R.: in Frontiers in Fluids Mechanics p.41  
Edited by Davis,S.H. and Lumley,J.L.
15. Kaneko,K.: Physica 23D(1986) 436
16. Ciliberto,S. and Bigazzi,P.: Phys. Rev. Lett. 60(1988) 286
17. Chaté,H. and Manneville,P.: Phys. Rev. Lett. 58(1987) 112
18. Oppo,G.L. and Kapral,R.: Phys. Rev. A33(1986) 4219
19. 高守秀樹:「777々」朝倉書店(1986)
20. Deissler,R.J.: J. Stat. Phys. 40(1985) 371

21. Deissler,R.J.: Phys. Lett. 120A(1987) 334
22. Deissler,R.J.: Physica 25D(1987) 233
23. Chomaz,J.M. et al: Phys. Rev. Lett. 60(1988) 25
24. Sreenivasan.,K.R. and Meneveau,C. J. F. M. 173(1986) 357
25. Olinger,D.J. and Sreenivasan,K.R.: Phys. Rev. Lett. 60(1988)  
p.797
26. Deissler,R.J.: Phys. Fluids 30(1987) 2363

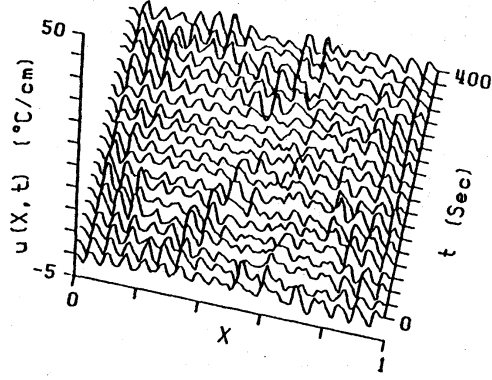
Space-time evolution of  $u(x,t)$  at  $n=248$ .

Fig 2.1

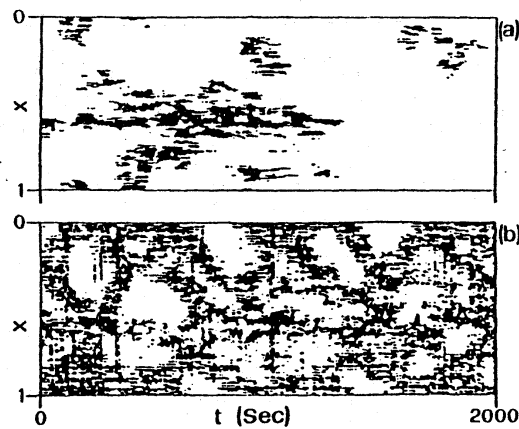
Binary representation, at  $\alpha=1.5^{\circ}\text{C}/\text{cm}$ , of the space-time evolution of  $u(x,t)$  at (a)  $n=216$  and (b)  $n=248$ . The dark and white areas correspond to turbulent and laminar domains, respectively.

Fig 2.2

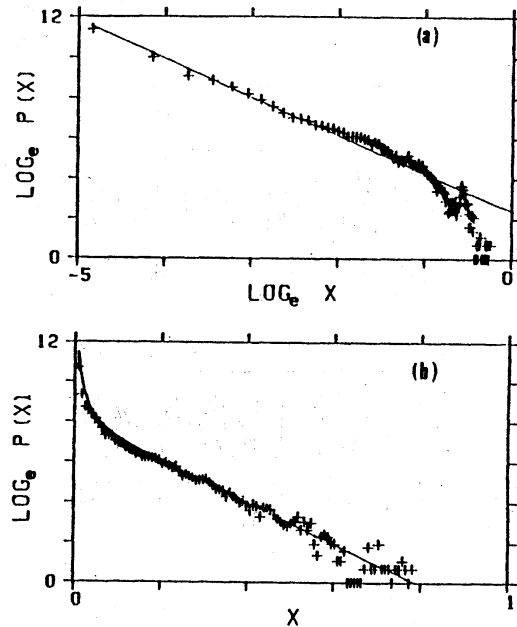
(a)  $n=241$ (b)  $n=310$ 

Fig 2.3

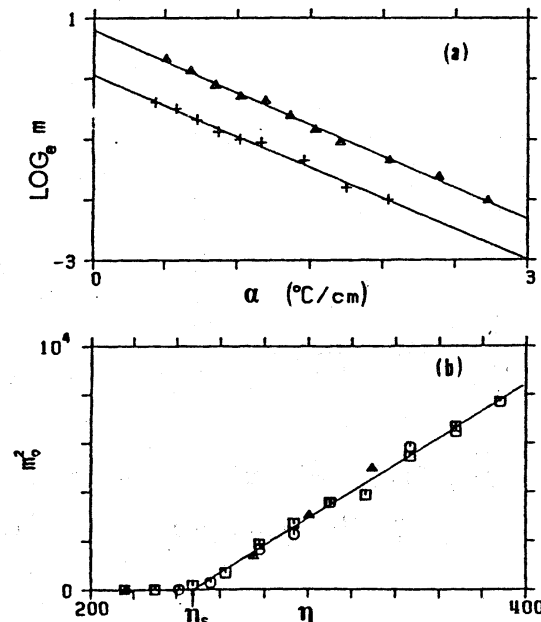
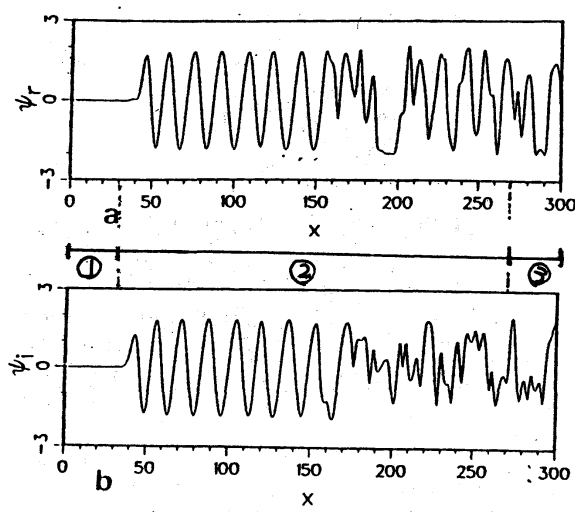
(a) +:  $n=263$ ,  $\Delta$ :  $n=310$ 

Fig 2.4.

 $t=200$  での  $\psi_r, \psi_i$  の図

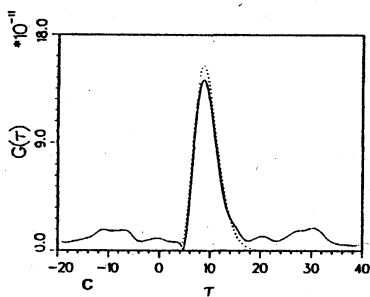
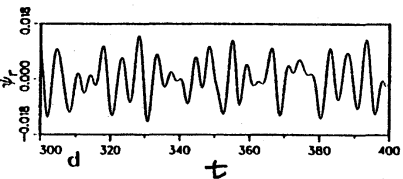
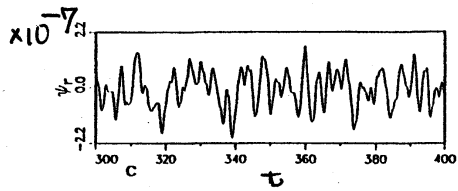
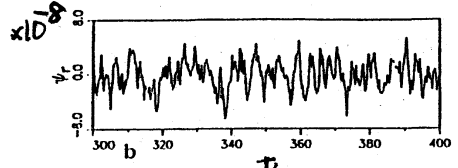
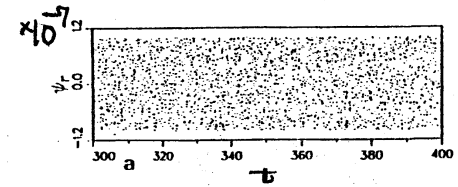
- ① 純形 分量
- ② 雜形 多分量
- ③ 混合 分量

Fig 3.1

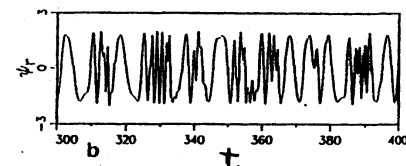
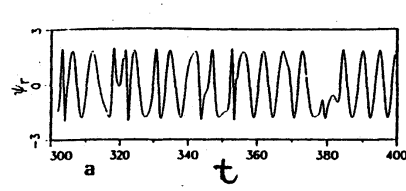
Fig 3.2

 $\psi_r(t)$  の時間発展

- (a)  $x=0$
- (b)  $x=3$
- (c)  $x=6$
- (d)  $x=30$

Fig 3.3  $\psi(0,t)$  と  $\psi(x_0, t+r)$   
の相関.  $x_0 = 30$  $\psi_r(t)$ .

- (a)  $x=60$
- (b)  $x=120$



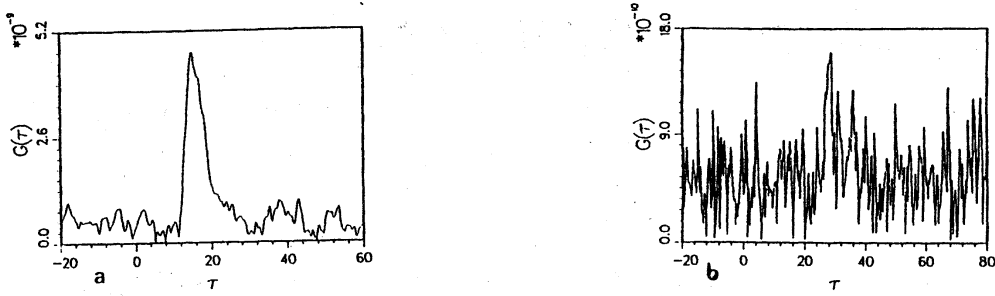


Fig 3.5  $\psi_{(0,t)} \times \psi_{(x_0,t)}$  の相関 a)  $\chi_0 = 60$   
b)  $\chi_0 = 180$

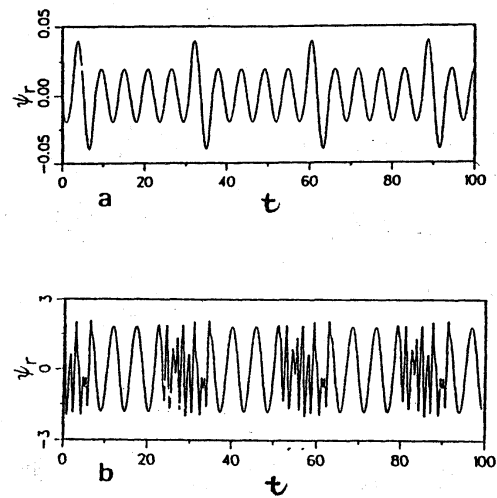


Fig 3.6 a)  $\psi_r(0,t)$ , b)  $\psi_r(150,t)$